

应用电路
百例丛书

新型半导体器件
及其应用实例

何希才 毛德柱 编著



电子工业出版社
PUBLISHING HOUSE OF ELECTRONICS INDUSTRY

<http://www.phei.com.cn>

应用电路百例丛书

新型半导体器件及其应用实例

何希才 毛德柱 编著

电子工业出版社

Publishing House of Electronics Industry

北京 · BEIJING

内 容 简 介

本书主要介绍二极管、晶体管、晶闸管及功率开关等半导体器件的特性、选用及其应用实例，书中提供应用电路 400 多例，这些电路结构合理、设计新颖、实用性强。

本书可供电子电路设计、开发和应用人员及电子爱好者阅读，也可作为大专院校师生的教学参考书。

未经许可，不得以任何方式复制或抄袭本书之部分或全部内容。

版权所有，侵权必究。

图书在版编目(CIP)数据

新型半导体器件及其应用实例/何希才,毛德柱编著. —北京:电子工业出版社,2002.12
(应用电路百例丛书)

ISBN 7-5053-8275-6

I. 新… II. ①何… ②毛… III. 半导体器件 IV. TN303

中国版本图书馆 CIP 数据核字(2002)第 093610 号

责任编辑：沈艳波

印 刷：北京李史山胶印厂

出版发行：电子工业出版社 <http://www.phei.com.cn>

北京市海淀区万寿路 173 信箱 邮编 100036

经 销：各地新华书店

开 本：787×1092 1/16 印张：19.5 字数：500 千字

版 次：2002 年 12 月第 1 版 2002 年 12 月第 1 次印刷

印 数：5 000 册 定价：28.00 元

凡购买电子工业出版社的图书，如有缺损问题，请向购买书店调换。若书店售缺，请与本社发行部联系。

联系电话：(010)68279077

前　　言

随着电子技术的不断发展,电子电路的功能逐渐扩大,已涉及到生活的各个方面。生活中任何高品质的电子设备都是由一些性能优良的单元电路所组成,而这些单元电路又由集成电路和常用半导体器件构成,虽然集成电路因其体积小、功能齐全、可靠性高而成为电路设计者的优选器件,但它在微弱信号的放大处理、功率放大等某些方面还有一定的不足,因此,半导体器件作为分立元件有着广泛的应用。本书汇集了国内外杂志上介绍的以及编著者多年来实践的常用半导体器件应用 400 多例,这些半导体器件与集成电路有机组合构成了性能优良、功能强的实用电路。实用电路中给出了元件参数,以便于电子爱好者选用,同时对从事电子技术专业设计制作的技术人员来说可节省大量的时间和精力,收到事半功倍的效果。

本书共分为 7 章。第 1 章“二极管及其应用实例”,主要介绍普通二极管、稳压二极管、单结晶体管(双基极二极管)、光电耦合器、恒流二极管、变容二极管、发光二极管和光敏二极管等基本原理、选用原则,并提供实用电路 80 多例。第 2 章“晶体管及其应用实例”,主要介绍普通晶体管和功率晶体管等基本原理及选用原则,并提供晶体管在保护电路、测试电路、充电器电路、控制电路、电源电路等方面的应用 80 多例。第 3 章“功率 MOS 场效应晶体管及其应用实例”,主要介绍场效应管工作原理、特性参数、栅极驱动电路,并提供场效应管在电源、放大器、电机控制等方面的应用 70 多例。第 4 章“绝缘栅双极晶体管及其应用实例”,主要介绍绝缘栅双极晶体管工作原理与特性、栅极驱动电路和保护电路,并提供绝缘栅双极晶体管应用电路 10 多例。第 5 章“晶闸管及其应用实例”,主要介绍普通晶闸管与双向晶闸管的工作原理、触发电路及选用原则,并提供晶闸管在电源、控制、报警、信号灯等方面的应用 80 多例。第 6 章“功率开关集成电路及其应用实例”,主要介绍 TWH8751 和 TWH8778 功率开关集成电路的原理及选用原则,并提供应用电路 20 多例。第 7 章“继电器及其应用实例”,主要介绍电磁继电器和固态继电器的原理及选用原则,并提供继电器应用电路 60 多例。

在本书编写过程中,参考了周兴华、莫正康、陈永甫、苏成富、方佩敏、张友汉、刘旭、王有志等作者的资料,并得到吴留娣、胡来召、徐宏福、李宏毅、赵清明、黄柳桃等人的帮助与支持,在此表示感谢。

由于编著者水平有限,书中难免有不妥和错误之处,欢迎读者批评指正。

编著者

2002 年 7 月

目 录

第1章 二极管及其应用实例	(1)
1.1 普通二极管	(1)
1.1.1 二极管的种类和检测	(1)
1.1.2 二极管的特性和参数	(2)
1.1.3 肖特基整流二极管	(3)
1.2 稳压二极管	(3)
1.2.1 硅稳压二极管	(3)
1.2.2 TL431	(6)
1.3 单结晶体管(双基极二极管)	(7)
1.3.1 单结晶体管的特性与参数	(7)
1.3.2 单结管弛张振荡电路	(9)
1.3.3 单结晶体管的检测	(11)
1.4 光电耦合器	(11)
1.4.1 光电耦合器基本特性	(11)
1.4.2 常用光电耦合器等效电路	(13)
1.4.3 光电耦合器的基本测试	(16)
1.4.4 光电耦合器的基本应用	(17)
1.5 恒流二极管和变容二极管	(23)
1.5.1 恒流二极管	(23)
1.5.2 变容二极管	(25)
1.6 发光二极管和光敏二极管	(26)
1.6.1 发光二极管	(26)
1.6.2 光敏二极管	(31)
1.7 二极管应用实例	(35)
1.7.1 普通二极管应用实例	(35)
1.7.2 光电耦合器应用实例	(41)
1.7.3 单结晶体管应用实例	(46)
1.7.4 TL431 应用实例	(48)
1.7.5 发光二极管应用实例	(51)
第2章 晶体管及其应用实例	(54)
2.1 普通晶体管	(54)
2.1.1 晶体管结构与类型	(54)
2.1.2 晶体管特性与参数	(55)
2.1.3 晶体管的测试	(57)
2.2 功率晶体管	(61)

2.2.1 功率晶体管的结构与工作原理	(61)
2.2.2 功率晶体管的特性参数	(62)
2.2.3 功率晶体管基极驱动电路的设计	(64)
2.2.4 复合晶体管及其应用	(69)
2.2.5 晶体管置换注意事项	(73)
2.3 晶体管应用实例	(73)
第3章 功率MOS场效应晶体管及其应用实例	(114)
3.1 场效应晶体管工作原理	(114)
3.1.1 结型场效应管	(114)
3.1.2 绝缘栅型场效应管	(115)
3.2 功率MOS场效应晶体管的特点与特性参数	(117)
3.2.1 功率MOS场效应晶体管的特点	(117)
3.2.2 功率MOS场效应管的特性参数	(119)
3.2.3 功率MOS场效应管的测试	(121)
3.3 功率MOS场效应晶体管栅极驱动电路	(125)
3.3.1 栅极驱动电路设计所涉及的问题	(125)
3.3.2 功率MOS场效应管栅极驱动实验电路	(128)
3.3.3 功率MOS场效应管栅极驱动电路的高速化	(131)
3.3.4 功率MOS场效应管驱动电路实例	(139)
3.4 功率MOS场效应管在电源中的应用	(141)
3.5 功率MOS场效应管在放大器中的应用	(148)
3.6 功率MOS场效应管在电机控制中的应用	(154)
3.7 结场效应管应用实例	(156)
第4章 绝缘栅双极晶体管及其应用实例	(166)
4.1 绝缘栅双极晶体管的工作原理与特性	(166)
4.1.1 绝缘栅双极晶体管的结构与工作原理	(166)
4.1.2 绝缘栅双极晶体管的特性	(168)
4.1.3 绝缘栅双极晶体管的简易测试	(170)
4.2 绝缘栅双极晶体管的栅极驱动电路和保护电路	(171)
4.2.1 绝缘栅双极晶体管的栅极驱动电路	(171)
4.2.2 绝缘栅双极晶体管的保护电路	(178)
4.3 绝缘栅双极晶体管应用实例	(180)
第5章 晶闸管及其应用实例	(185)
5.1 普通型晶闸管工作原理	(185)
5.1.1 晶闸管结构	(185)
5.1.2 晶闸管工作原理	(185)
5.1.3 晶闸管的阳极伏安特性	(186)
5.1.4 晶闸管的测试	(187)
5.1.5 晶闸管的串并联	(189)
5.2 相控整流电路的工作原理	(190)

5.3 晶闸管触发电路	(191)
5.3.1 对触发电路的要求	(191)
5.3.2 晶闸管触发电路	(193)
5.4 特殊晶闸管	(201)
5.4.1 双向晶闸管	(201)
5.4.2 温控晶闸管	(206)
5.5 普通晶闸管应用实例	(208)
5.6 双向晶闸管应用实例	(234)
第6章 功率开关集成电路及其应用实例	(243)
6.1 TWH8751 功率开关集成电路	(243)
6.2 TWH8778 功率开关集成电路	(245)
6.3 功率开关集成电路应用实例	(248)
6.3.1 TWH8751 应用实例	(248)
6.3.2 TWH8778 应用实例	(255)
第7章 继电器及其应用实例	(264)
7.1 电磁继电器	(264)
7.1.1 继电器的类型	(264)
7.1.2 电磁继电器的工作原理与参数	(264)
7.1.3 电磁继电器的特点	(265)
7.1.4 电磁继电器使用注意事项	(266)
7.1.5 电磁继电器的基本应用	(266)
7.1.6 交流接触器的节电应用实例	(267)
7.1.7 步进继电器应用实例	(269)
7.2 固态继电器	(271)
7.2.1 固态继电器的内部等效电路及工作原理	(271)
7.2.2 固态继电器应用时注意事项	(273)
7.2.3 固态继电器的基本应用	(274)
7.3 电磁继电器应用实例	(280)
7.4 固态继电器应用实例	(302)

第1章 二极管及其应用实例

1.1 普通二极管

1.1.1 二极管的种类和检测

1. 二极管的种类

二极管一般由一个 PN 结和两条引出线组成,将其封装在一个密封的壳体中。P 区引出线为二极管正极,N 区引出线为二极管负极。二极管组成与电路符号如图 1-1 所示,图中箭头方向为二极管单向导电时的电流方向。

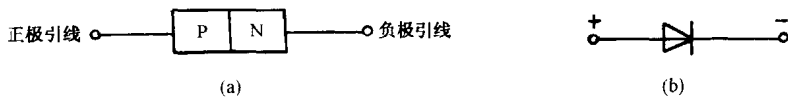


图 1-1 二极管的组成和电路符号

(a) 组成; (b) 电路符号

二极管的种类很多,按半导体材料分为硅管和锗管两种。硅管的优点是反向电流小、允许工作温度高、击穿电压高及热稳定性好,缺点是小信号检波的灵敏度低、线性差,一般用于整流和逻辑应用等。而锗管的优、缺点正好与硅管相反,多用于检波、高频等电路中。

二极管按结构形式分为点接触型和面接触型两种。点接触型是由一根金属丝和半导体晶片接触构成 PN 结,因此,PN 结面积小,不能通过大电流,但结间电容小,工作频率高,适用于小功率整流、高频检波等电路。而面接触型的 PN 结面积大,故结电阻小,允许通过的电流大,但结间电容大,工作频率低,适用于低频大功率整流电路。

二极管按用途可分为整流二极管、信号二极管和特殊用途二极管等。

2. 二极管的检测

二极管的检测一般使用万用表的电阻挡进行测量,万用表的电阻挡实际上就是串联了一只电阻的直流电源,如图 1-2(a)所示。黑表笔(表的负极)相当于电源的正极,红表笔(表的正极)相当于电源的负极。被检测的二极管接在红、黑表笔之间就相当于一只电阻,若二极管的电阻大,回路中的电流就小,表针摆动就小。反之,电阻小,回路中的电流就大,表针摆动大,这就是用万用表测量二极管的原理。用万用表可识别普通二极管的极性,即将万用表拨到 $R \times 100 \Omega$ 或 $R \times 1 k\Omega$ 挡,两个表笔分别接在二极管的两端,即测量二极管两个引出脚,如图 1-2(b)和图 1-2(c)所示。正、反向各测一次,当出现一次小阻值(几百欧姆左右)时,以这次测量为准,黑表笔接的是二极管的正极,红表笔接的是二极管的负极。

用万用表可测量二极管正、反向电阻,从而判断二极管性能的好坏。用万用表电阻 $R \times 100 \Omega$ 或 $R \times 1 k\Omega$ 挡进行测量,正常情况下锗材料二极管的正向电阻为 $1 k\Omega$ 左右,反向电阻为 $500 k\Omega$ 以上;而硅材料二极管的正向电阻值为 $1 \sim 5 k\Omega$ 之间,反向电阻值为无限大。若测得二极管的正、反向电阻值均为 0Ω ,则说明二极管被击穿造成短路;若正、反向电阻值均为无

限大，则说明二极管开路；若正、反向电阻差值小，即正向电阻值偏大，反向电阻值偏小，则说明二极管性能不良。不论锗材料还是硅材料的二极管，都是其正向电阻值越小越好，正向电阻值过大，会使二极管单向导电性变坏。反之，反向电阻值越大越好，反向电阻值过小，说明二极管失去了单向导电作用。在实际应用中，被认为是理想二极管的正向电阻值为 0Ω ，反向电阻值为无限大。

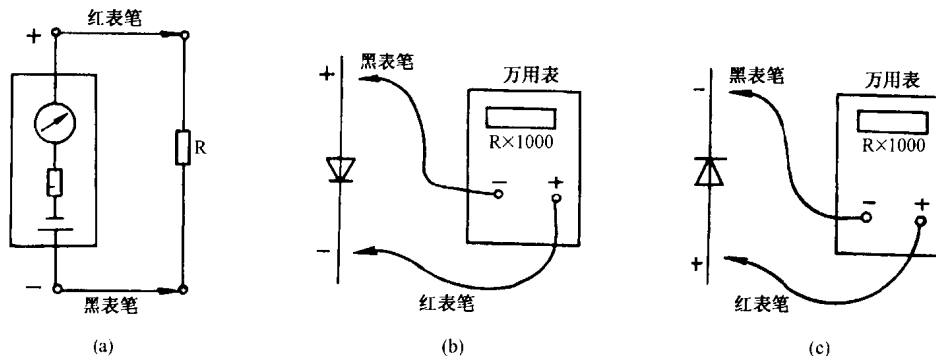


图 1-2 二极管测量示意图

1.1.2 二极管的特性和参数

1. 二极管的特性

二极管的伏安特性曲线表示通过二极管中电流与其两端外加电压之间的关系，如图 1-3 所示。二极管的型号虽很多，参数不尽相同，但它们的伏安特性曲线的形状大致相似。正向伏安特性如图 1-3 中的右侧部分所示，从原点至 A 点的区域称为正向死区，A 点电压称为死区电压，在常温下硅管的死区电压约为 0.5 V，锗管的死区电压约为 0.2 V。当二极管两端的电压超过 A 点电压后，管子开始导通，正向电流随端电压的增高而迅速增大，二极管呈低阻状态。由图 1-3 的特性可看出，这时二极管的正向电流在相当大的范围内变化，而二极管两端电压的变化却不大（近似为恒定特性），小功率硅管约为 0.7 V，锗管约为 0.3 V。

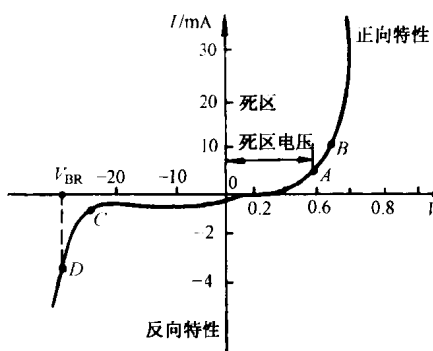


图 1-3 二极管的典型伏安特性

在二极管两端加反向电压时，由于 PN 结的反向电阻很高，所以反向电压在一定范围内变化，反向电流非常小，基本上不随反向电压而变化，如图 1-3 中从原点至 C 点的曲线所示，这时的电流称为反向饱和电流，此时二极管处于截止状态。

反向电流是二极管的一个重要参数，反向电流越大，说明二极管的单向导电性能越差。一般来说，硅管的反向电流约为 $1\mu\text{A}$ 到几十微安，锗管约为几十微安至几百微安。另外，反向电流随温度的上升而急剧增大，通常，温度每增加 10°C ，其反向电流值约增加 1 倍。

在图 1-3 中，当过 C 点继续增大反向电压时，反向电流在 D 点处突然上升，这种现象称为反向击穿，这时所对应的电压称为反向击穿电压 V_{BR} ，不同类型和不同材料二极管的反向击穿电压是不同的，通常为几十伏到几百伏，甚至高达数千伏。

当外加反向电压超过反向击穿电压时 PN 结被击穿, 反向电流突然剧增。二极管失去了单向导电性能。如果被电压击穿的二极管又因电流过大而引起了热击穿, 二极管将被烧毁造成永久性损坏。在实际应用中要特别注意, 不能让二极管承受过高的反向电压。

2. 二极管主要参数

额定整流电流(I_F): 额定整流电流是指二极管长时间工作时允许流过二极管的最大正向平均电流。在使用时工作电流一般不得超过 I_F 值, 否则将会引起 PN 结过热而损坏二极管。

额定反向电压(V_R): 额定反向电压是指二极管使用时所允许加的最大反向电压, 一般手册上给出的 V_R 是反向击穿电压的一半。

反向电流(I_R): 反向电流是指二极管在一定温度下加反向电压时的反向电流值。 I_R 越大, 表明二极管单向导电性能越差。

此外, 还有二极管的最高工作频率、正向管压降、极间电容和散热器规格等参数。必须说明, 上述各参数都与温度有关, 因此只有在规定的散热条件下, 才能保证二极管在长期工作中各参数稳定。选择二极管时要考虑实际应用中温度的影响。

1.1.3 肖特基整流二极管

在开关电源中, 所需的整流二极管必须具有正向压降低、快速恢复的特点, 还应具有足够大的输出功率, 这时可以使用肖特基整流二极管。这种整流二极管即使在大的正向电流作用下, 其正向压降也很低, 仅为 0.4 V 左右。因此, 肖特基整流二极管特别适用于 5V 左右的低电压输出开关电源电路中。在一般情况下, 低电压输出所驱动的负载电流都较大, 而且随着结温的增加, 其正向压降更低。肖特基整流二极管的反向恢复时间是可以忽略不计的, 因为此管是多数载流子半导体器件, 在肖特基整流二极管的开关过程中, 没有清除少数载流子存储电荷的问题。

肖特基整流二极管有两大缺点: 其一, 反向截止电压的承受能力较低, 目前的产品大约为 100 V; 其二, 反向漏电流较大, 使得该器件比其他类型的整流器件更容易受热击穿。当然, 这些缺点可以通过增加瞬时过电压保护电路及适当控制结温来克服。

1.2 稳压二极管

1.2.1 硅稳压二极管

1. 稳压二极管的伏安特性

稳压二极管又称齐纳二极管, 常用硅材料制成, 所以又称硅稳压二极管, 它是利用齐纳击穿或雪崩击穿的性质而工作的。其图形符号与伏安特性如图 1-4 所示, 稳压管工作在反向伏安特性上, 电流限定于一定的区段, 当电流小于最大允许数值时, 就能安全地工作。

硅稳压管的 PN 结具有硬的反向特性, 当反向电压低于击穿电压时, 反向漏电流很小(微安数量级), 相当于具有很大的反向电阻(兆欧数量级)。当反向电压超过击穿电压后, 反向电流很快增大, 特性曲线出现明显拐弯点, 如图 1-4(b)中 A 点所示。随着电流的增大, 电压增大得较慢, 电流在一定范围内变动时, 输出电压变化很小, 利用这个特性可用来稳压。产品在规定的测试电流 I_z 下测定稳定电压 V_z , 并按 V_z 的大小划分型号, 各种型号稳压管的稳定电压一般在 1~220 V 之间。

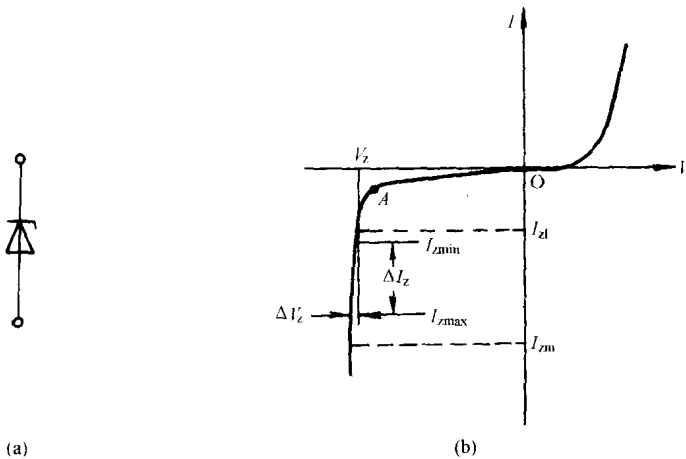


图 1-4 稳压二极管的图形符号与伏安特性

(a) 稳压二极管的图形符号; (b) 伏安特性

2. 稳压二极管的主要参数

稳定电压(V_z): 稳定电压(V_z)是稳压管的反向击穿电压, 即为稳压管正常工作时其两端所具有的电压值。不同型号的稳压管的 V_z 值不同, 即使同一型号的稳压管该值也具有一定的离散性。例如一个 2CW21A 稳压管的 V_z 值是 4~4.5 V 之间的某一确定值, 2CW7 稳压管的 V_z 值是 6~7.5 V 之间的某一确定值。在使用和更换稳压管时一定要对具体的稳压管进行测试, 看其稳压值是否合乎要求。

稳定电流(I_z): I_z 是稳压管正常工作时电流的参考值, 它是稳压管两端保持正常稳定电压 V_z 值时制造厂的出厂测试电流。这个参数只是作为应用时的参考依据, 在实际电路中, 稳压管中的工作电流的选用还要根据具体情况来考虑。

最大稳定电流($I_{z\max}$): $I_{z\max}$ 又称最大工作电流, 即稳压管允许通过的最大反向电流, 它是稳压管的重要指标。稳压管在工作时的电流应小于该值, 否则稳压管将因电流过大而发热损坏。

最小稳定电流($I_{z\min}$): $I_{z\min}$ 是稳压管进入正常稳压状态所必需的起始电流, 实际电流小于此值时, 稳压管因未进入击穿状态而不能起到稳压作用。

最大耗散功率($P_{z\max}$): $P_{z\max}$ 是稳压管在反向击穿工作时 PN 结所能承受的最大功率值。它与最大稳定电流的关系是 $P_{z\max} = V_z I_{z\max}$ 。稳压管实际消耗的功率等于稳定电压 V_z 与稳定电流 I_z 的乘积, 即 $P_z = V_z I_z$ 。 P_z 只能小于 $P_{z\max}$, 否则将造成稳压管的损坏。

动态电阻(R_z): 当流过稳压管的电流发生变化时, 它两端的电压变化量 ΔV_z 与电流变化量 ΔI_z 之比称为稳压管的动态电阻或内阻, 即 $R_z = \Delta V_z / \Delta I_z$ 。稳压管的内阻越小, 说明电流变化时其两端电压变化也小, 即稳压性能好, 选择稳压管时宜选择内阻值小的稳压管。

电压温度系数(X_z): 当环境温度变化时, 稳压管的击穿电压将产生微小的变化。一般常用电压温度系数来表示稳压管的温度稳定性。其定义式为

$$X_z = \frac{\Delta V_z}{V_z \Delta T} \times 100\% (1/\text{°C}) \quad (1-1)$$

式中, ΔT 表示温度的变化量。 X_z 反映温度每变化 1 °C 时稳压管稳定电压的相对变化量, 该值越小其稳压性能受温度影响越小, 即温度特性越好。一般 V_z 为 5~6 V 的稳压管, 其 X_z 值约等于零, V_z 值大于 6 V 的稳压管, 其 X_z 值为正, 而 V_z 值小于 5 V 的稳压管, 其 X_z 值为负。因此, 选用 5~6 V 的稳压管能得到较好的温度稳定性。

3. 稳压二极管稳压电路

稳压二极管稳压电路如图 1-5 所示，稳压管 VD_z 工作于反向偏置， R_s 是限流电阻并起着电压调整作用。这种电路是利用硅稳压管的反向击穿特性，使稳压管在工作电流范围内保持两端电压基本不变。

电路中，限流电阻 R_s 的确定应考虑以下两种极端情况。第一，当输入电压为最大 V_{imax} ，而负载开路 $I_o = 0$ 时，流过稳压管 VD_z 的电流最大，为了不超过稳压管 VD_z 的最大允许电流 I_{zmax} ，限流电阻 R_s 应足够大。

$$R_{smin} > \frac{V_{imax} - V_o}{I_{zmax} + 0} \quad (1-2)$$

第二，当输入电压为最小 V_{imin} ，而负载电流最大 I_{omax} 时，流过稳压管 VD_z 的电流最小，为了保证稳压管 VD_z 电流不小于选定的最小稳定电流 I_{zmin} ，限流电阻 R_s 不应过大。

$$R_{smax} < \frac{V_{imin} - V_o}{I_{zmin} + I_{omax}} \quad (1-3)$$

所以限流电阻 R_s 应当满足式(1-2)和式(1-3)所给的范围，即

$$R_{smin} < R_s < R_{smax} \quad (1-4)$$

4. 稳压二极管的检测方法

(1) 稳压二极管的极性判别

稳压二极管极性判别方法与普通二极管类似，用万用表电阻 $R \times 1 k\Omega$ 挡测量稳压二极管两引脚阻值，如果万用表指针在几百欧（或几千欧）位置，则说明黑表笔接的是稳压二极管的正极，如果万用表指针在几百千欧以上，则说明红表笔接的是二极管的正极。在判别稳压二极管的极性时，不能使用 $R \times 10 k\Omega$ 挡，因为 $R \times 10 k\Omega$ 挡内为高压电池，测反向电阻时会使稳压二极管击穿，这时万用表上读出的数值很小，往往会误认为稳压二极管被击穿了。

(2) 稳压二极管的好坏判断

用万用表电阻 $R \times 1 k\Omega$ 挡测量稳压二极管正、反向电阻时，正常情况下稳压二极管的正向电阻值约为 $10 k\Omega$ ，反向电阻值为无限大。若与之不符合，则稳压二极管损坏。

稳压二极管和普通二极管的区别：首先用万用表电阻 $R \times 1 k\Omega$ 挡找出被测二极管正、负极，然后用 $R \times 10 k\Omega$ 挡测二极管反向电阻，若阻值为无限大，该二极管为普通二极管，若反向电阻值较小，则说明该二极管为稳压二极管。值得注意的是，当稳压二极管稳压值大于 $9 V$ 时，用该方法无法判断。

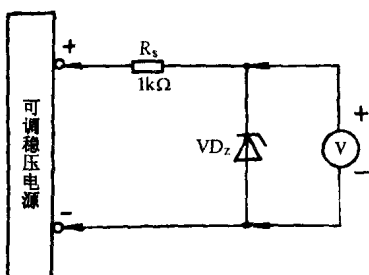


图 1-6 稳压二极管的简易测试电路

(3) 稳压二极管的简易测试

图 1-6 是稳压二极管的简易测试电路，可用于测量稳压二极管的稳定电压 V_z 。测试过程如下：将被测稳压管 VD_z 接在电路中，用万用表的直流电压挡监视 VD_z 两端电压，稳压电源的输出从 $0 V$ 开始调大，电压表指示的电压随之增大，输出电压调到某值时电压表指示的电压不再增大，则此时电压表指示的电压即为被测稳压管的稳定电压 V_z ，反复调多次可得到准确的稳定电压值。

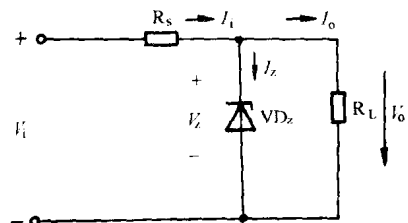


图 1-5 稳压管稳压电路

1.2.2 TL431

TL431 是精密可调电基准电源，它有如下特点：稳压值

从 2.5~36 V 连续可调；参考电压源误差为 $\pm 1.0\%$ ，低动态输出电阻，典型值为 0.22Ω ；输出电流为 $1.0 \sim 100 \text{ mA}$ ；全温度范围内温度特性平坦，典型值为 5×10^{-7} ；低输出噪声电压；TL431C, TL431I 和 TL431M 仅是工作温度不同，其中 TL431C 为 $-20 \sim 85^\circ\text{C}$ ，TL431I 为 $-40 \sim 85^\circ\text{C}$ ，TL431M 为 $-55 \sim 125^\circ\text{C}$ 。TL431 的引脚、图形符号及内部等效电路如图 1-7 所示。

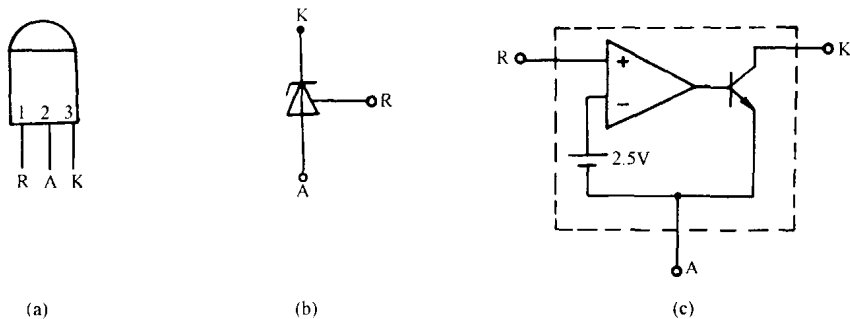


图 1-7 TL431 引脚、图形符号及内部等效电路

(a) 引脚；(b) 图形符号；(c) 内部等效电路

TL431 有 3 种基本应用：其一，作为稳压管使用，如图 1-8 所示，R 端接到阴极 K 上时，就成为 2.5 V 的稳压二极管，与一般稳压管同样使用。

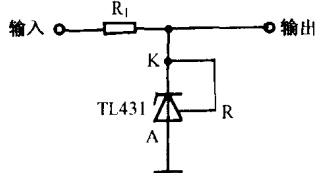


图 1-8 作为稳压管使用

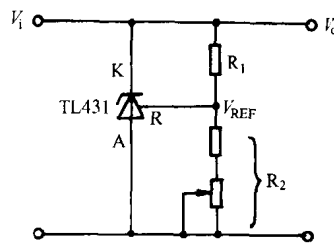


图 1-9 组成可变电源的电路

其二，作为可变电源使用，如图 1-9 所示，工作时，电路自行调节阴极 K 端子电压，以使 R 端的电压保持在 2.5 V。而输出电压 V_o 保持为

$$V_o = V_{KA} = V_{REF}(1 + R_1/R_2) - I_{REF}R_1 \quad (1-5)$$

I_{REF} 通常只有几微安，可忽略不计，则式(1-5)可简化为

$$V_o = V_{REF}(1 + R_1/R_2) \quad (1-6)$$

由于 V_{REF} 稳定在 2.5 V，若改变 R_1 和 R_2 的比值，就可任意地改变输出电压 V_o 。

其三，作为恒压元件使用，它被广泛用做开关稳压器的恒压元件，如图 1-10 所示。

在交流输入方式的开关稳压器中，开关电路和交流电源线之间没有绝缘。但是，为了避免在直流输出端触电的危险，采用变压器隔离方法。另一方面，输出电压的变化也必须以隔离方式传送给开关电路，因此，常采用光电耦合器来实现。

在图 1-10 所示的电路中，将光电耦合器 PC 和 TL431 接在要稳定的直流输出端。若输出电压 V_o 升高，TL431 的 K 极电流 I_K 就增大，流过光电耦合器 PC 中发光二极管的电流也同时

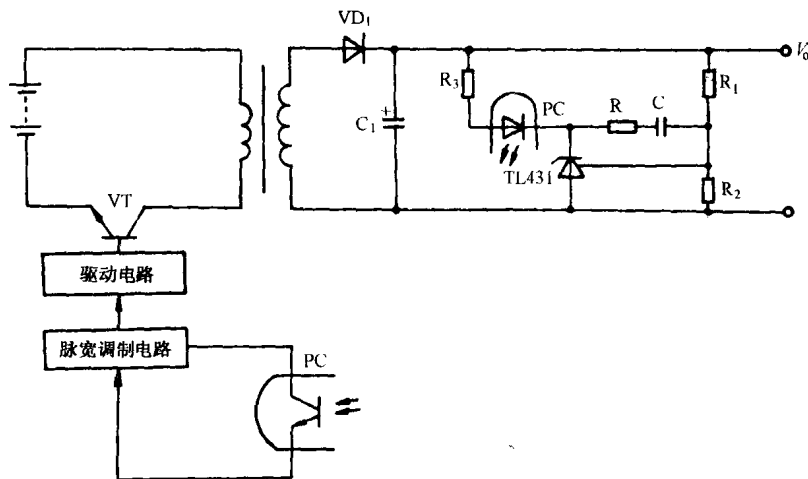


图 1-10 使用 TL431 的开关稳压器

增大，因此，光敏晶体管端的集电极电流增大，并作为稳压信号被接收，改变了加到开关晶体管 VT 上的驱动电压波形，使输出电压 V_0 降低。若用普通的运放来制作这部分电路，运放的供电电源至少要为 $7\sim 8$ V。采用本电路，从 4 V 左右开始，工作就十分稳定。电路中，电源的直流输出电压 V_0 与式(1-5)中完全一样。

另外，在开关稳压器中，稳压反馈电路中含有电感分量，容易起振。因此，需要在 TL431 的阴极 K 和参考极 R 之间接电阻 R 和电容 C，对其内部放大器进行相位补偿。

1.3 单结晶体管(双基极二极管)

1.3.1 单结晶体管的特性与参数

单结晶体管(UJT)简称单结管，其结构如图 1-11(a)所示，在一块高电阻率的 N 型硅片两端制作两个欧姆接触电极(接触电阻较小的纯电阻接触电极)，称为第一基极 B_1 和第二基极 B_2 。在硅片另一侧的 B_2 与 B_1 之间，靠近第二基极 B_2 处制作了一个 PN 结。在 P 型半导体上引出的电极称为发射极 E。故单结晶体管又称为双基极二极管。

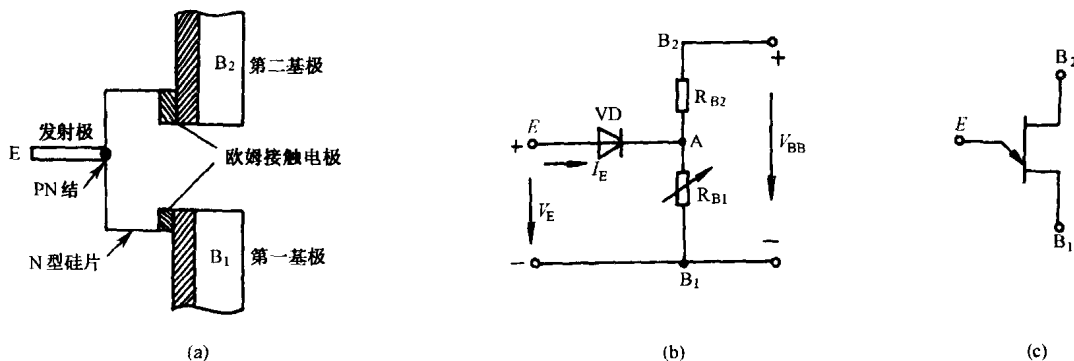


图 1-11 单结晶体管的结构、等效电路与电路符号

(a) 结构；(b) 等效电路；(c) 电路符号

单结晶体管的等效电路如图 1-11(b)所示。B₂ 和 B₁ 之间的 N 型区域等效为一个纯电阻 R_{BB}, 称为基区电阻。

$$R_{BB} = R_{B1} + R_{B2} \quad (1-7)$$

式中 R_{B2} 为第二基极与发射极之间硅片的电阻; R_{B1} 为第一基极与发射极之间硅片的电阻, R_{B1} 的阻值随发射极电流 I_E 而变化。当无 I_E 时, R_{BB} 通常为 2~12 kΩ。发射极处的 PN 结构成一只二极管 VD。

单结管的特性曲线如图 1-12 所示, 主要特点是具有负阻效应, 现结合等效电路来说明。

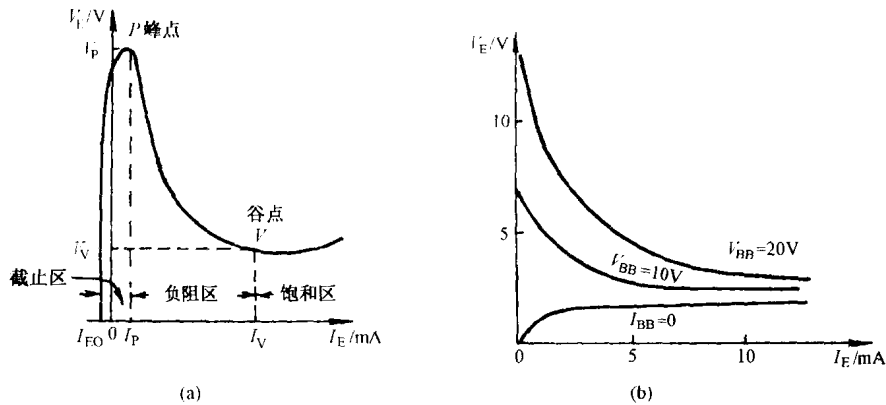


图 1-12 单结管的特性曲线

(a) 某固定 V_{BB} 时; (b) 不同 V_{BB} 时

1. 分压比

在 B₂、B₁ 间加以电压 V_{BB} 时, 有一不大的电流 I_{BB} 从 B₂ 流向 B₁, 在 A 与 B₁ 间分压得一电位差

$$V_A = \frac{R_{B1}}{R_{B1} + R_{B2}} V_{BB} = \frac{R_{B1}}{R_{BB}} V_{BB} = \eta V_{BB} \quad (1-8)$$

式中, η 称为分压比, 它是单结管的重要参数之一, 其值主要取决于发射极的几何位置, 一个单结管的分压比几乎是固定不变的, 大量产品的分压比处在 0.3~0.9 之间。

2. 截止区

等效二极管 VD 为一个具有整流二极管正、反向特性的 PN 结。当发射极电压 V_E < ηV_{BB} 时, 二极管 VD 处于负偏状态, 只有很小(小于 1~2 μA)的反向电流 I_{EO} 流过 PN 结, 参看图 1-12(a)曲线中截止区内纵坐标左侧的特性。当 V_E = ηV_{BB} 时, PN 结为零偏, 电流 I_E = 0, 见图 1-12(a)中曲线与纵坐标的交点。当 $\eta V_{BB} < V_E < \eta V_{BB} + V_D$ 时, 二极管正偏, 但由于硅二极管的正向导通电压 V_D 在 25℃ 时一般为 0.7 V 左右, 若发射结的偏压小于此值时, I_E 仍很小, VD 仍处于截止状态。见图 1-12(a)中截止区内纵坐标右侧的特性曲线。

3. 负阻区

当 V_E 增大到等于 $\eta V_{BB} + V_D$ 时, 由于克服了 PN 结的截止电压, 因此, VD 转为导通。这一点的 V_E 称为峰点电压 V_P, 故

$$V_P = \eta V_{BB} + V_D \quad (1-9)$$

式中, V_D 为 PN 结正向压降。相应于 V_P 的电流为峰点电流 I_P, 见图 1-12(a)中的 P 点。当二极管 VD 导通后, 发射极 P 区的空穴就会源源不断注入 N 区, 空穴被电位为负的基极 B₁ 吸引

过去,与外电路流进的电子复合,形成发射极电流 I_E ,由于空穴的注入,使发射极 E 与基极 B_1 之间的 N 型区域内载流子的密度显著增加,导电性能大大加强, V_A 减小,这相当于电阻 R_{B1} 减小。由于 V_A 减小,使加在 PN 结上的正向偏压增大,空穴的注入进一步提高,即 I_E 进一步增大,这又导致 V_A 及 R_{B1} 进一步减小, V_A 的减小又使 I_E 增加,这一正反馈式的连锁反应,使 V_E 随 I_E 的增加而减小。这就是单结晶体管的负阻特性。

4. 饱和区

负阻区不是没有止境的,当空穴的注入量增大到一定程度时,就会有一部分空穴来不及与基区的电子复合,出现了空穴的多余存储,E 与 B_1 之间的基区将由中性变为正电性,使空穴的注入遇到新的阻力,这时, V_E 将随 I_E 的增大而缓慢增加,这一现象称为饱和。由负阻区转化到饱和区的转折点 V 称为谷点。这一点的发射极电压叫谷点电压 V_V ,相应的发射极电流叫谷点电流 I_V ,图 1-12(a)中特性曲线上 $I_E > I_V$ 的区域为饱和区。当 I_E 达到最大发射极额定电流 I_{EM} 时,发射极与基极 B_1 间的压降称为发射极饱和压降 V_{ES} ,一般小于 4~5 V。

1.3.2 单结管弛张振荡电路

利用单结管负阻特性和电容的充放电特性,可组成产生锯齿波及窄脉冲的弛张振荡电路。

1. 原理

单结管弛张振荡电路如图 1-13(a)所示,当 S 闭合后,电源电压 E_B 一方面通过 R_2 及 R_1 加在单结管的 B_2 及 B_1 上,若 $R_2 \ll R_{BB}$ 及 $R_1 \ll R_{BB}$,则 $V_{BB} \approx E_B$,在 N 型硅片上发射极端分压得 $V_A = \eta V_{BB} \approx \eta E_B$ 。另一方面 E_B 经 R 向电容 C 充电,发射极电压 V_E 随 V_C 按指数规律上升,其充电时间常数 $\tau_c = RC$ 。当 $V_E < V_C < V_P$ 时,单结管处于截止状态。当 V_E 达到峰点电压 $V_P = \eta V_{BB} + V_D$ 时,单结管呈现负阻而导通,并输出脉冲电压 $V_o = V_C - V_{EB1}$, V_{EB1} 为单结管导通时 E 和 B_1 之间的压降。脉冲电压峰值为

$$V_{om} \approx V_P - V_{ES} \approx \eta V_{BB} - V_{ES} \quad (1-10)$$

随着电容电荷经发射极 E、第一基极 B_1 向 R_1 及外接等效负载电阻 R'_g 放电,电容电压 V_C 按指数曲线下降,其放电时间常数为

$$\tau_d = R_{EB1} + \frac{R_1 R'_g}{R_1 + R'_g} C \quad (1-11)$$

式中, R'_g 为门极支路等效电阻,等于门极等效电阻 R_g 与防干扰二极管 VD_1 的正向等效电阻 R_{D1} 之和。由于放电时间常数远小于充电时间常数,故输出电压是尖顶的窄脉冲。当 V_C 减小到低于谷点电压 V_V 时,单结管截止,第一个脉冲结束。接着电容再次被充电,待充电电压达到 V_P 时,单结管再导通,并输出脉冲,如此周期地振荡不止。

2. 振荡周期与频率

计算振荡周期时,因放电时间很短,可以忽略,故只计算充电时间,经数学推导得振荡周期为

$$T \approx R C \ln \frac{1}{1 - \eta} \quad (1-12)$$

可见,当 C 值一定时,调节 R 之值就能改变振荡周期。

3. R 的临界范围

R 的调节范围必须满足单结管的振荡条件,即应使单结管工作在负阻区,若 R 值过大或过小都会使单结管停振。

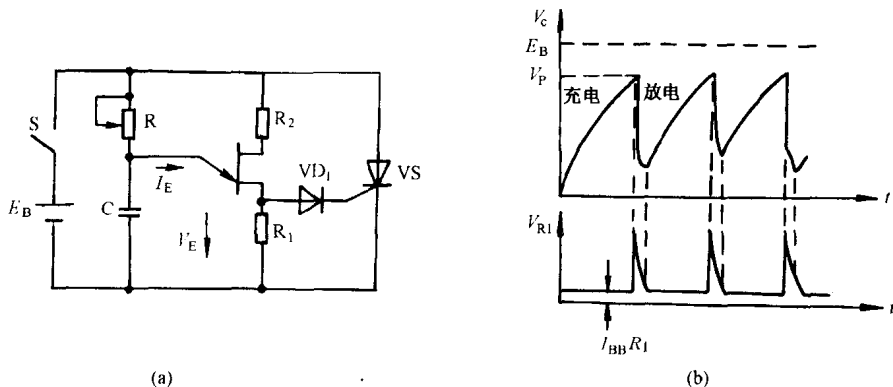


图 1-13 单结管弛张振荡电路

(a) 电路; (b) 波形

(1) 最大临界值 R_{\max}

若 R 值过大,使单结管发射极电流始终小于 I_p ,不能进入负阻区,则单结管的工作点稳定在截止区而不能振荡。故要保证振荡必须使

$$R < R_{\max} = \frac{E_B - V_p}{I_p} \quad (1-13)$$

(2) 最小临界值 R_{\min}

若 R 值过小,使单结管第一周期放电后,流过 R 及发射极的电流 I_E 始终大于谷点电流 I_v ,则单结管工作点稳定在饱和区而不再振荡。要使单结管工作点再次经过负阻区,必须使

$$R > R_{\min} = \frac{E_B - V_v}{I_v} \quad (1-14)$$

4. 放电电阻 R_1

R_1 与晶闸管门极支路等效电阻 R_g' 并联, R_1 的作用是使单结管漏电流 I_{BB} 在 R_1 上只产生较小的压降 $I_{BB}R_1$,如图 1-13(b)所示,防止晶闸管的误触发。设 I_{BB} 全部流过 R_1 ,其压降应小于防干扰二极管 VD_1 的正向压降 V_{D1} ,

$$I_{BB}R_1 \approx (E_B/R_{BB})R_1 < V_{D1} = 0.7 \text{ V} \quad (1-15)$$

这样,晶闸管门极干扰电压极小,避免了误触发,故 R_1 应满足下式关系

$$R_1 < \frac{0.7R_{BB}}{E_B} \quad (1-16)$$

由于 R_1 的阻值较小,通常仅为 $50 \sim 200 \Omega$,对输出脉冲的分流作用是很明显的,通常 R_1 中消耗了大部分脉冲电流,而门极电流峰值 I_{gm} 只是单结管发射极最大电流的小部分。这种单结管电路通常只能输出 20 mA 左右的脉冲电流,用以触发一个电流不大的晶闸管。

5. 温度补偿电阻 R_2

由于单结管的结温上升时 V_D 有所减小,故峰点电压 V_p 也相应减小,此缺点可利用 R_{BB} 随结温升高而增大的特点来补偿。结温升高时漏电流 I_{BB} 减小, R_2 上的电压降 $I_{BB}R_2$ 也减小,因而分配到 B_2, B_1 的电压 V_{BB} 增大,使 ηV_{BB} 也增大,用以补偿 V_D 及 $I_{BB}R_1$ 的减小。

R_2 一般为 $200 \sim 400 \Omega$,要求温度补偿得较好时,也可用试验的方法调整之。